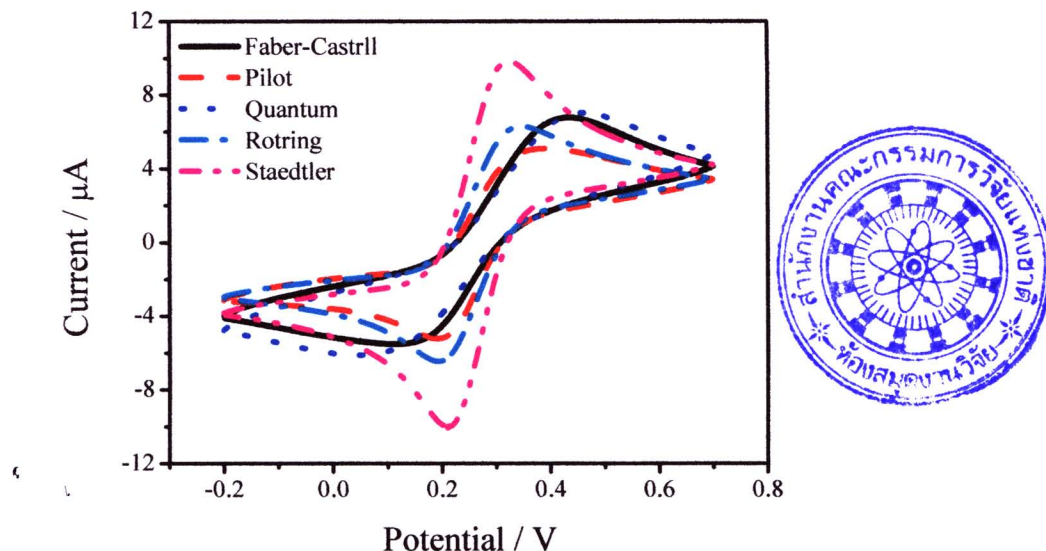


บทที่ 4

ผลการวิจัย

4.1 การเตรียมข้าไฟฟ้า สำหรับการตรวจวัดทางเคมีไฟฟ้า

ในการวิจัยได้เตรียมข้าไฟฟ้าcar์บอนจากไส้คินสอ สำหรับเป็นฐานในการตรึงกับเอนไซม์ สาเหตุที่เลือกข้าไฟฟ้าcar์บอนจากไส้คินสอเนื่องจากมีขนาดเล็ก ราคาถูก และสามารถหาซื้อได้ง่าย ตามท้องตลาด พร้อมทั้งสามารถนำมาประยุกต์สำหรับเป็นชุดทดสอบขนาดเล็กได้ ดังนั้นจึงนำไส้คินสอมาต่อเป็นข้าไฟฟ้า และใช้เทคนิคไซคลิกโวลเทนเมทริตรวจสอบคุณลักษณะของไส้คินสอ ชนิด 2B และ HB ยี่ห้อต่างกัน 5 ยี่ห้อ คือ Rotring Pilot Faber-Castell Staedtler และ QuanTum ในสารละลายนมของ $10 \text{ mM } K_4Fe(CN)_6/K_3Fe(CN)_6$ จากผลการทดลองสามารถสรุปค่าเฉลี่ยของกระแสแอลูมิโนดิคิก (i_a) และกระแสแอลูมิโนโโทดิคิก (i_c) ค่าเฉลี่ยของศักย์ไฟฟ้าของปฏิกิริยาออกซิเดชัน (E_{pa}) และปฏิกิริยาเร็คกัชัน (E_{pc}) และค่าความต่างของศักย์ไฟฟ้า ΔE_p ($E_{pa} - E_{pc}$) ดังตารางที่ 4.1 จากตารางพบว่าข้าไฟฟ้าcar์บอนจากไส้คินสอชนิด 2B ให้ปริมาณกระแสแอลูมิโนดิคิก และแอลูมิโนโโทดิคิกที่สูงกว่า ข้าไฟฟ้าชนิด HB ในทุกๆ ยี่ห้อ ซึ่งสันนิษฐานได้ว่าปริมาณการรับอนของไส้คินสอชนิด 2B มีสูงกว่า ชนิด HB จึงทำให้มีการส่งผ่านอิเล็กตรอนได้ดีกว่า ดังแสดงไซคลิกโวลเทน โมแกรมของข้าไฟฟ้า car์บอนจากไส้คินสอชนิด 2B ยี่ห้อต่างๆ ทั้ง 5 ยี่ห้อ ได้ดังรูปที่ 4.1 และผลของกระแสแอลูมิโนดิคิก และแอลูมิโนโโทดิคิกสูงสุดในข้าไฟฟ้าชนิด 2B คือไส้คินสอยี่ห้อ Staedtler และยังให้ค่า ΔE ต่ำสุด นั่นหมายความว่าข้าไฟฟ้าดังกล่าวให้การส่งผ่านของอิเล็กตรอนที่ดีที่สุด เหมาะสมสำหรับนำไปตรวจวัดคุณภาพเตอร์โมล็อกต่อไป



รูปที่ 4.1 ไซคลิกโวลต์แกรมของ 10 mM $\text{K}_4\text{Fe}(\text{CN})_6/\text{K}_3\text{Fe}(\text{CN})_4$ ที่ตรวจด้วยขั้วไฟฟ้า คาร์บอนจากไส้ดินสองชนิด 2B ของยี่ห้อต่างๆ (Rotring Pilot Faber-Castell Staedtler และ QuanTum) ที่อัตราการสแกน 100 mV/s

ตารางที่ 4.1 ผลการทดลองที่ได้จากไส้ดินสองชนิด

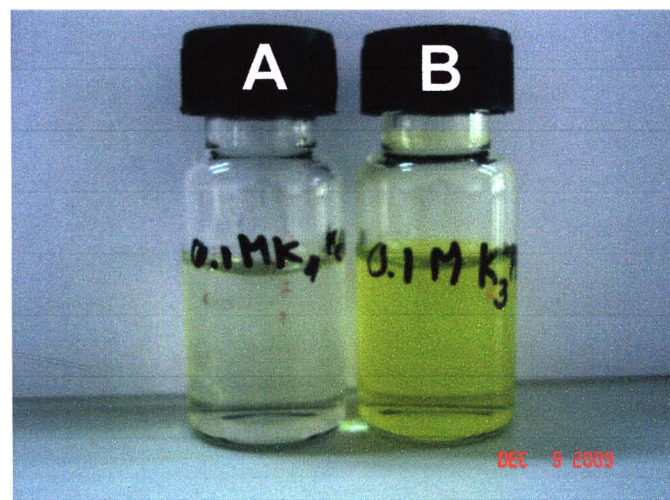
ยี่ห้อไส้ดินสองชนิด	ชนิดไส้ดินสองชนิด	ปฏิกิริยาออกซิเดชัน		ปฏิกิริยารีดักชัน		ΔE_p (V)
		E_{pa} (V)	i_a (μA)	E_{pc} (V)	i_c (μA)	
Rotring	HB	0.312	1.17	0.226	-1.24	0.086
	2B	0.362	5.94	0.184	-5.92	0.178
Pilot	HB	0.381	5.06	0.196	-5.07	0.185
	2B	0.342	7.21	0.202	-7.25	0.140
Faber-Castell	HB	0.428	6.01	0.130	-5.34	0.298
	2B	0.433	6.05	0.150	-5.03	0.283
Staedtler	HB	0.361	5.72	0.192	-5.68	0.169
	2B	0.332	7.44	0.202	-7.57	0.130
QuanTum	HB	0.346	3.04	0.104	-2.41	0.242
	2B	0.443	5.73	0.181	-5.14	0.262

4.2 การหาสภาวะที่เหมาะสมสำหรับการวิเคราะห์ค่าออกเลสเตอรอล โดยสังเกตจากการเปลี่ยนแปลงสีของสารละลาย

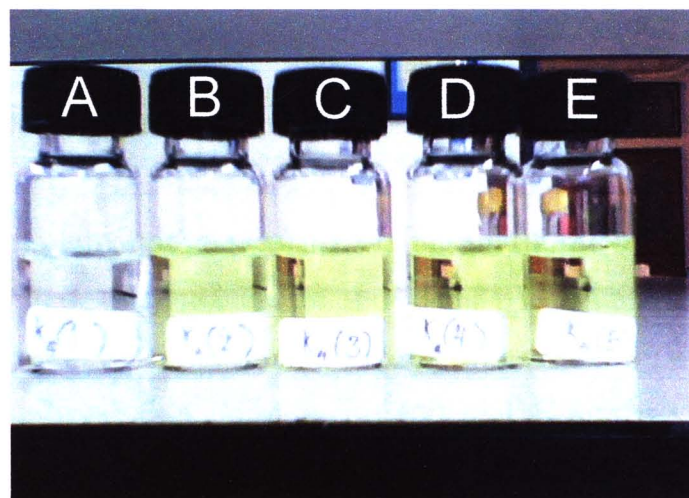
4.2.1 เลือก mediator ระหว่าง $K_4Fe(CN)_6$ และ $K_3Fe(CN)_6$ ที่มีผลต่อ H_2O_2

ในงานวิจัยได้เลือกใช้ไอออนของเหล็ก (Fe^{2+} และ Fe^{3+}) เป็นตัวกลางสำหรับการเพิ่มสัญญาณทางเคมีไฟฟ้าเนื่องจากสามารถเกิดปฏิกิริยาออกซิเดชัน และรีดักชันได้ง่าย พร้อมกับเป็นสารที่มีสีทำให้ง่ายต่อการสังเกตด้วยตา ดังนั้นจึงเริ่มจากการสังเกตการเปลี่ยนแปลงสีของสารละลาย ดังรูปที่ 4.2 โดยสารละลายของ $K_4Fe(CN)_6$ เป็นสารละลายใสไม่มีสี (Fe^{2+}) และสารละลายของ $K_3Fe(CN)_6$ มีสีเหลืองใส (Fe^{3+}) โดยในการทดสอบจะเริ่มจากการสังเกตการเปลี่ยนแปลงสีของสารละลายที่ทั้งความเข้มข้นของ H_2O_2 ที่ต่างกัน เนื่องจาก H_2O_2 เป็นผลิตภัณฑ์ที่ได้จากปฏิกิริยาของค่าออกเลสเตอรอลกับ ChOx เออนไซม์ ดังนั้นจึงนำมาทดสอบเบื้องต้นเพื่อเลือก mediator ที่เหมาะสม

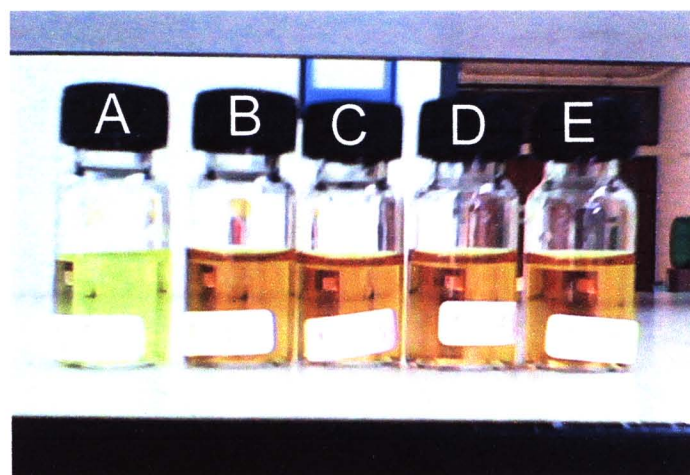
ผลของ $K_4Fe(CN)_6$ mediator ที่มีต่อ H_2O_2 พบว่าสีของสารละลาย $K_4Fe(CN)_6$ จากสีใส (ดังขวด A) เมื่อเติม H_2O_2 สีของสารละลายได้เปลี่ยนเป็นสีเหลืองดังขวด B ถึง E ตามรูปที่ 4.3 โดยในขวด B ถึง E นั้นมีความเข้มข้นของ H_2O_2 ต่างกันดังนี้คือ 0.2 0.4 0.6 และ 0.8 mM ตามลำดับ สีของสารละลายที่เปลี่ยนหลังจากเติม H_2O_2 ในขวด B ถึง E สังเกตได้ว่าเป็นสีเดียวกัน ผลเนื่องจากว่าถูกจำกัดด้วยความเข้มข้นของ $K_4Fe(CN)_6$ mediator ซึ่งมีความเข้มข้นมีเพียง 0.02 mM ในส่วนของ $K_3Fe(CN)_6$ mediator ที่มีผลต่อ H_2O_2 ได้ผลดังรูปที่ 4.4 สีของสารละลาย $K_3Fe(CN)_6$ เริ่มต้นนั้นมีสีเหลือง (ดังขวด A) และเปลี่ยนเป็นสีส้มเมื่อเติม H_2O_2 ในขวด B ถึง E ตามความเข้มข้น 0.2 0.4 0.6 และ 0.8 mM ของ H_2O_2 ตามลำดับ และเช่นเดียวกันสีของสารละลายที่เปลี่ยนในขวด B ถึง E สังเกตได้ว่าเป็นสีเดียวกัน เนื่องมาจากถูกจำกัดด้วยความเข้มข้นของ $K_3Fe(CN)_6$ mediator ซึ่งความเข้มข้นมีเพียง 0.02 mM จากผลการทดลองในรูปที่ 4.3 และ 4.4 พบว่าการเปลี่ยนแปลงสีของ $K_4Fe(CN)_6$ จากไม่มีสีเป็นสีเหลืองสามารถสังเกตได้ง่ายกว่า การเปลี่ยนแปลงสีของ $K_3Fe(CN)_6$ ดังนั้นในงานวิจัยจึงเลือก $K_4Fe(CN)_6$ เป็น mediator



รูปที่ 4.2 สีของสารละลายน้ำ (A) 0.1 M K₄Fe(CN)₆ และ (B) 0.1 M K₃Fe(CN)₆



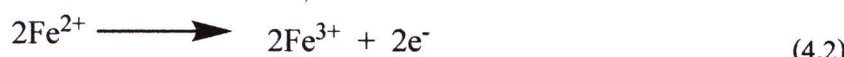
รูปที่ 4.3 สีของสารละลายน้ำ 0.02 mM K₄Fe(CN)₆ mediator และเอนไซม์ HRP หลังตั้งทิ้งไว้ 30 นาที โดยมีความเข้มข้นของ H₂O₂ ต่างกันดังนี้ (A) 0 mM (B) 0.2 mM (C) 0.4 mM (D) 0.6 mM และ (E) 0.8 mM

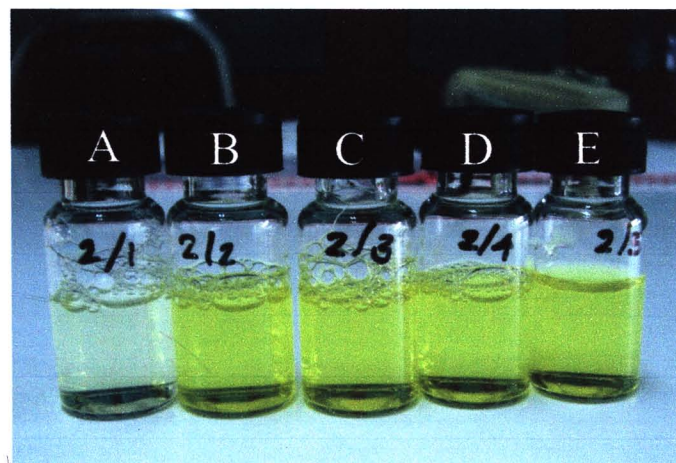


รูปที่ 4.4 สีของสารละลายน้ำที่มีความเข้มต่างกันที่ใส่ในขวด A-E แสดงถึงการเปลี่ยนสีของ H₂O₂ ตามปริมาณ mediator K₄Fe(CN)₆ ที่เพิ่มเข้าไป 0 mM (A), 0.2 mM (B), 0.4 mM (C), 0.6 mM (D) และ 0.8 mM (E)

4.2.2 การศึกษาผลของก่อนและหลังการเติมเอนไซม์ HRP ที่มีผลต่อ K₄Fe(CN)₆ mediator และ H₂O₂

จากการศึกษาก่อนและหลังการเติมเอนไซม์ HRP ร่วมในสารละลายน้ำ mediator K₄Fe(CN)₆ พบร่องสีของสารละลายน้ำที่เปลี่ยนไปตามปริมาณเอนไซม์ HRP ได้ผลดังรูปที่ 4.5 และหลังจากการเติมเอนไซม์ HRP ได้ผลดังรูปที่ 4.2 จากผลการทดลองปรากฏว่าการทดลองทั้ง 2 ชุดให้ผลเช่นเดียวกัน คันน์การเกิดปฏิกิริยาออกซิเดชันของ Fe²⁺ เป็น Fe³⁺ จึงไม่เกิดผ่านเอนไซม์ HRP สรุปได้ว่าสมการ 4.3 โดย Fe²⁺ ถูกเรียกว่าเป็น Fe³⁺ ดังสมการที่ 4.2 และ H₂O₂ ถูกออกซิเดชันเป็น H₂O ดังสมการที่ 4.1 ผลิตภัณฑ์ที่ได้ Fe³⁺ เป็น electroactive species สามารถเกิดปฏิกิริยาเรียดักชันทางเคมีไฟฟ้าได้ จึงสามารถให้สัญญาณกระแสแก่โทศกิได้



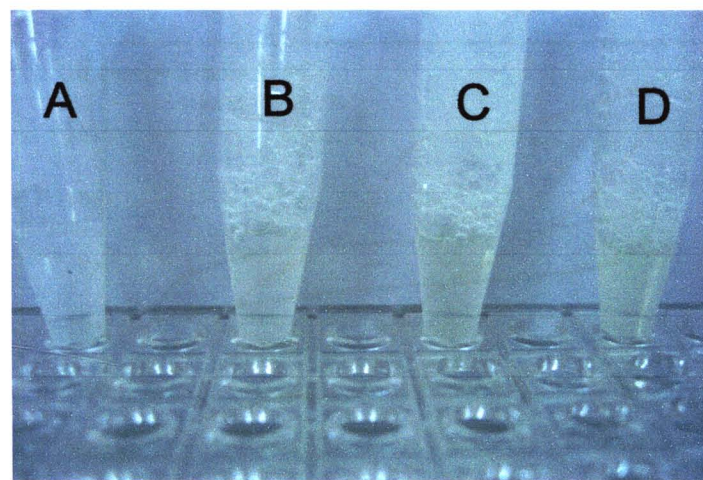


รูปที่ 4.5 สีของสารละลาย $0.02 \text{ mM } K_4Fe(CN)_6$ mediator ก่อนเติมเอนไซม์ HRP หลังตั้งทิ้งไว้ 30 นาที โดยมีความเข้มข้นของ H_2O_2 ต่างกันดังนี้ (A) 0 mM (B) 0.2 mM (C) 0.4 mM (D) 0.6 mM และ (E) 0.8 mM

4.2.3 การศึกษา $K_4Fe(CN)_6$ mediator ที่มีผลต่อคอเลสเตอรอล

สังเกตจากการเปลี่ยนแปลงสีของสารละลายจากการเติมคอเลสเตอรอลที่มี mediator ตามตารางที่ 3.2 ได้ผลดังรูปที่ 4.6 ขาด A ถึง D พนว่าเมื่อมีการเติมคอเลสเตอรอลที่ความเข้มข้นต่างกันโดยเริ่มจาก 0.00 1.67 3.33 และ 6.67 mM ตามลำดับ จะเห็นได้ว่าสีของสารละลายจะมีสีเหลืองเข้มมากขึ้นเมื่อมีปริมาณคอเลสเตอรอลเพิ่มขึ้น ซึ่งให้ผลเหมือนดังผลของการศึกษา $K_4Fe(CN)_6$ mediator กับ H_2O_2 ทั้งนี้เนื่องมาจากการเกิดปฏิกิริยาของคอเลสเตอรอลกับ ChOx เอนไซม์ ได้ผลิตภัณฑ์เป็น H_2O_2 ดังสมการที่ 4.4 และ H_2O_2 เกิดการออกซิไดซ์กับ Fe^{2+} mediator ได้ผลิตภัณฑ์เป็น Fe^{3+} ซึ่งมีสีเหลืองดังปรากฏในรูปที่ 4.6 ดังนั้น $K_4Fe(CN)_6$ mediator สามารถใช้เป็น mediator สำหรับตรวจวัดคอเลสเตอรอล ได้เป็นอย่างดี



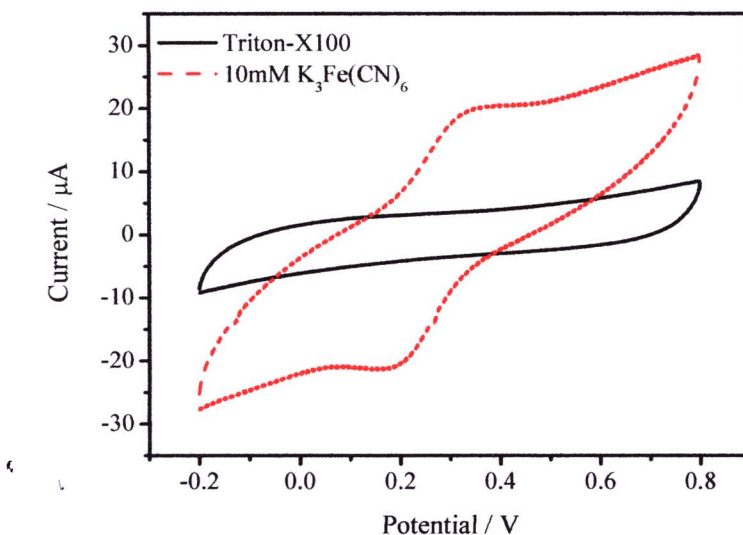


รูปที่ 4.6 การเปลี่ยนแปลงของสี $K_4Fe(CN)_6$ ที่มีผลต่อการเติมคอเลสเตอรอลที่ความเข้มข้นต่างกัน เมื่อตั้งทิ้งไว้ 30 นาที โดยมีความเข้มข้นของคอเลสเตอรอลต่างกันคือ (A) 0 mM (B) 1.67 mM (C) 3.33 mM และ (D) 6.67 mM

4.3 การหาสภาวะที่เหมาะสมสำหรับการวิเคราะห์คอเลสเตอรอล โดยเทคนิคทางเคมีไฟฟ้า

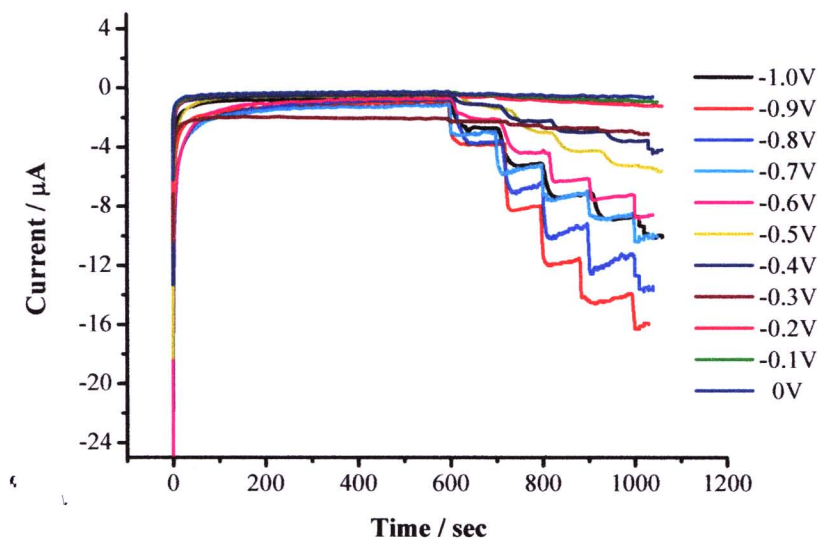
4.3.1 ศึกษาคุณลักษณะทางเคมีไฟฟ้าของ $K_4Fe(CN)_6$ ด้วยเทคนิคไซคลิกโวลเทมเมทรี

เนื่องจากผลการเกิดปฏิกิริยาระหว่าง H_2O_2 และ $K_4Fe(CN)_6$ mediator ได้ผลิตภัณฑ์เป็น Fe^{3+} ดังสมการที่ 4.3 ดังนั้นจึงต้องศึกษาคุณลักษณะทางเคมีไฟฟ้าของ Fe^{3+} โดยการตรวจวัดในสารละลายน้ำ 10 mM $K_3Fe(CN)_6$ ใน 10% Triton-X 100 ฟอสเฟสบัฟเฟอร์ pH 7.5 ด้วยเทคนิคไซคลิกโวลเทมเมทรี ที่อัตราสแกน 0.1 V/s ช่วงศักย์ไฟฟ้า -0.2 ถึง 0.8 V ได้ผลดังรูปที่ 4.7 จากไซคลิกโวลเทมโนแกรม พบว่าเกิดปฏิกิริยาออกซิเดชันที่ศักย์ไฟฟ้า 0.3 V และปฏิกิริยาดักชันที่ศักย์ไฟฟ้า 0.2 V

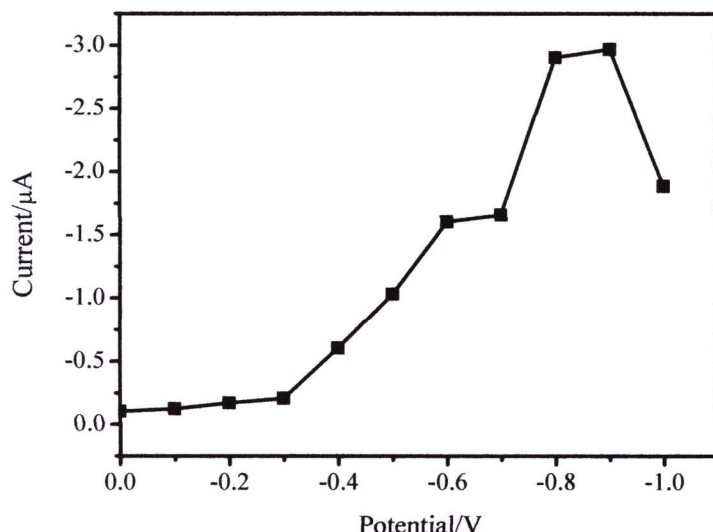


รูปที่ 4.7 ไซคลิกโวล์ตแอมป์เגרมของกระแสพีน (10% Triton-X 100 + 0.05 M ฟอสเฟตบัฟเฟอร์ pH 7.5) และ 10 mM $K_3Fe(CN)_6$ ละลายน้ำใน 10% Triton-X 100 + 0.05 M ฟอสเฟตบัฟเฟอร์ pH 7.5 ที่อัตราการสแกน 0.1 V/s

4.3.2 การศึกษาหาค่าคึ่ไฟฟ้าที่เหมาะสมสำหรับตรวจวัด H_2O_2 ด้วยเทคนิคแอมเปอร์โรมทรี นำขี้วไฟฟ้าcarbenonจากไส้คินสอที่เลือกมาตรวจวัด H_2O_2 ที่คักคึไฟฟ้าตั้งแต่ -1 ถึง 0 V ในสารละลายน้ำเด็กโตร ไลต์ของ 10% Triton-X 100 ใน 0.05 M ฟอสเฟตบัฟเฟอร์ (pH 7.5) เมื่อ วิเคราะห์ผลดังรูปที่ 4.8 และ 4.9 พบร่ว่าคักคึไฟฟ้าที่ให้กระแสไฟฟ้านเฉลี่ยสูงสุดอยู่ที่ -0.9 V



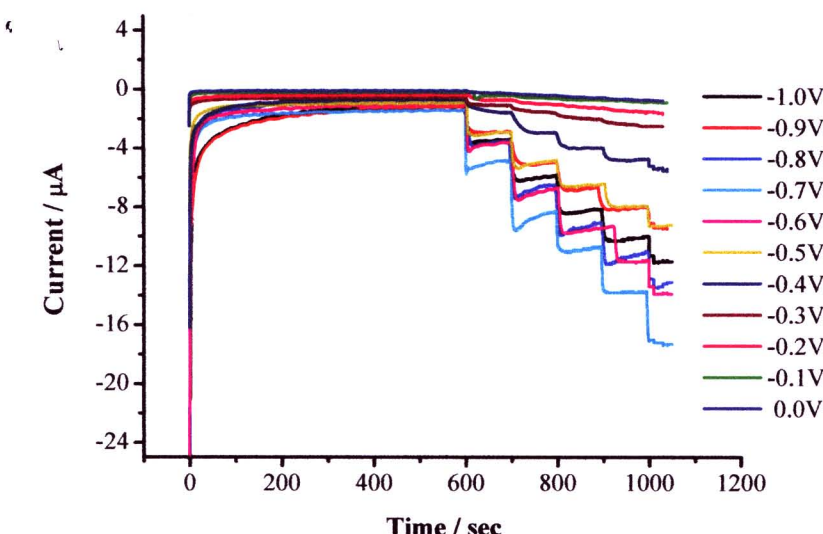
รูปที่ 4.8 แผนเปอร์โกรัมของการตรวจวัด H_2O_2 โดยมี 10% Triton-X 100 ใน 0.05 M ฟอสเฟตบัฟเฟอร์ (pH 7.5) เป็นอิเล็กโทรไลต์ ให้ศักย์ไฟฟ้าต่างๆ ตั้งแต่ -1.0 ถึง 0.0 V



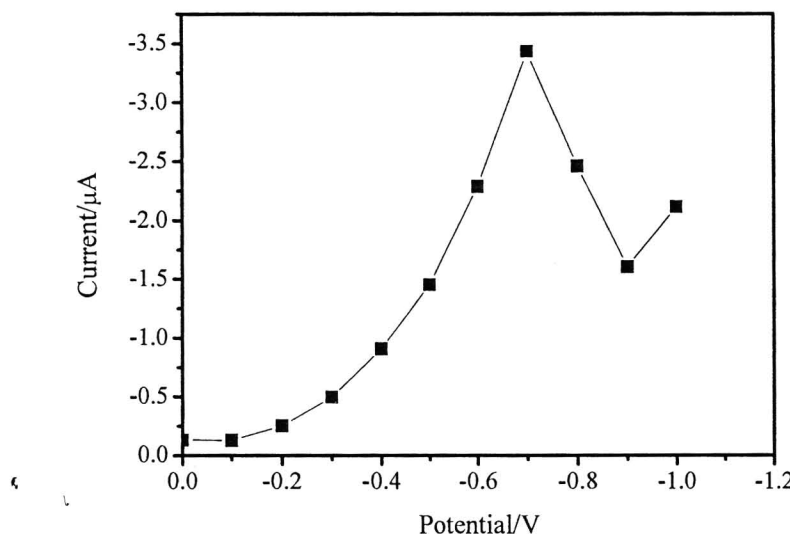
รูปที่ 4.9 กราฟแสดงความสัมพันธ์ระหว่างกระแสเรียดกับศักย์ไฟฟ้า ที่ได้จากรูปที่ 4.8 ที่ศักย์ไฟฟ้าต่างๆ ตั้งแต่ -1.0 ถึง 0.0 V

4.3.3 การศึกษาหาศักย์ไฟฟ้าที่เหมาะสมสำหรับตรวจวัด H_2O_2 และมี $\text{K}_4\text{Fe}(\text{CN})_6$ mediator เป็นตัวช่วยเพิ่มสัญญาณ ด้วยเทคนิคแอมเปอร์โรมทรี

นำข้าไฟฟ้าcarบอนจากไส้คินสต์ที่เลือกมาตรวจวัด H_2O_2 ที่ศักย์ไฟฟ้าตั้งแต่ -1 ถึง 0 V ในสารละลายน้ำอิเล็กโทรไลต์ของ 10% Triton-X 100 ใน 0.05 M ฟอสเฟตบัฟเฟอร์ (pH 7.5) และมี $\text{K}_4\text{Fe}(\text{CN})_6$ เป็น mediator เมื่อวิเคราะห์ผล พบว่าศักย์ไฟฟ้าที่ให้กระแสไฟฟ้าเฉลี่ยสูงสุดอยู่ที่ -0.7 V ดังแสดงในรูปที่ 4.10 และ 4.11 เมื่อเปรียบเทียบผลจากข้อ 4.3.2 พบว่าศักย์ไฟฟ้าสำหรับตรวจวัด H_2O_2 ลดลงถึง 0.2 V เมื่อมี mediator เป็นตัวเร่งและช่วยเพิ่มสัญญาณของกระแสอีก 0.5 μA



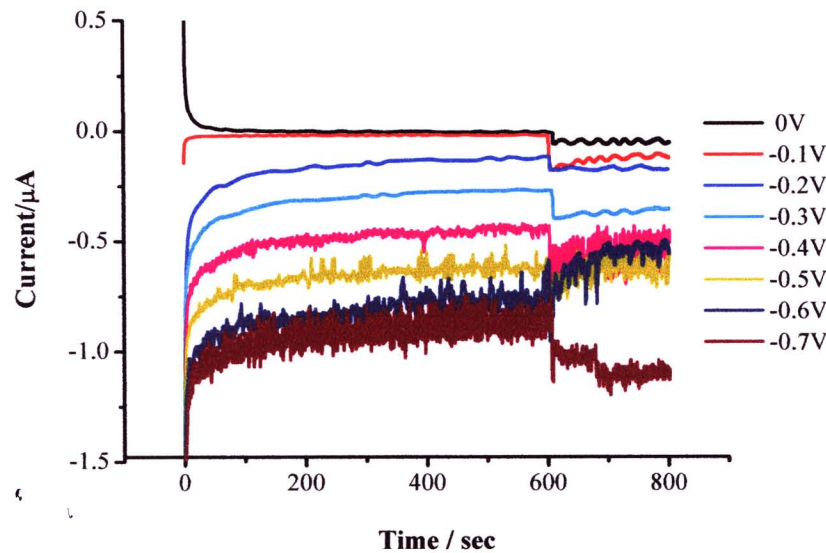
รูปที่ 4.10 แอม佩อร์โรมแกรมของการตรวจวัด H_2O_2 โดยมี 10% Triton-X 100 ใน 0.05 M ฟอสเฟตบัฟเฟอร์ (pH 7.5) และมี $\text{K}_4\text{Fe}(\text{CN})_6$ เป็น mediator ที่ศักย์ไฟฟ้าต่างๆ ตั้งแต่ -1.0 ถึง 0.0 V



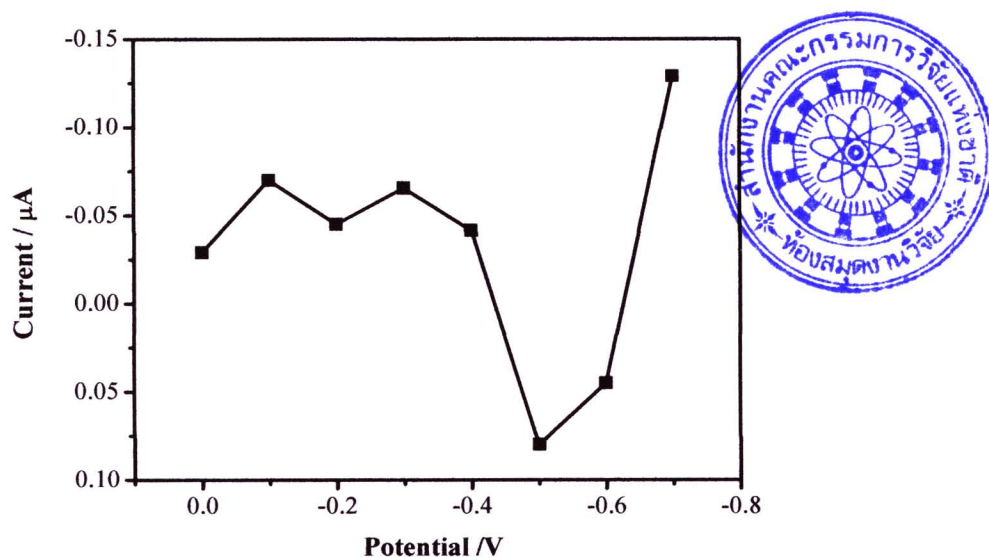
รูปที่ 4.11 กราฟแสดงความสัมพันธ์ระหว่างกระแสเครื่องดักชันเฉลี่ยของ H_2O_2 เมื่อมี mediator และตัวยี้ไฟฟ้าที่ได้จากรูปที่ 4.10 ที่ตัวยี้ไฟฟ้าต่างๆ ตั้งแต่ -0.7 ถึง 0.0 V

4.3.4 การศึกษาหาตัวยี้ไฟฟ้าที่เหมาะสมสำหรับตรวจวัดค่าเลสเตรอรอล ด้วยเทคนิคแอมเปอร์โรมทรี

จากรูปที่ 4.12 และ 4.13 พบร่วมกับค่าเลสเตรอรอลสามารถเกิดปฏิกิริยาเรดักชันได้โดยตรงแต่กระแสที่ได้ต่ำมาก ส่งผลให้ความไวในการตรวจวัดต่ำ ดังนั้นจึงไม่เหมาะสมที่จะตรวจวัดค่าเลสเตรอรอลโดยตรง



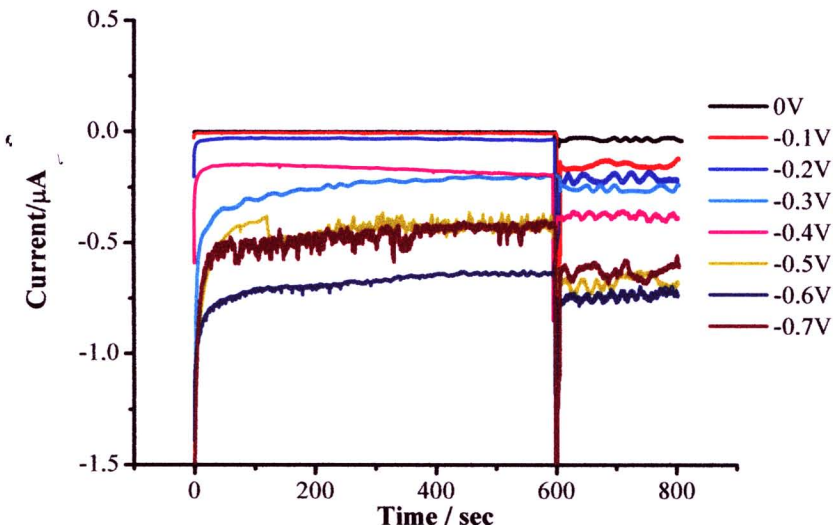
รูปที่ 4.12 แผนเปอร์โร์ограмของ การตรวจวัดค่าเฉลسط่อรอด ที่ศักยไฟฟ้าต่างๆ ตั้งแต่ -0.7 ถึง 0.0 V



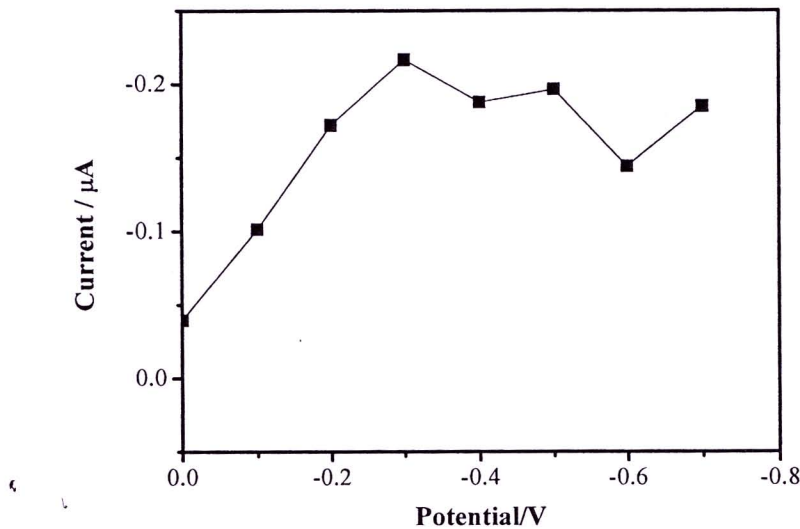
รูปที่ 4.13 กราฟแสดงความสัมพันธ์ระหว่างกระแสไฟฟ้าและศักยไฟฟ้าที่ได้จากรูปที่ 4.12 ตั้งแต่ -0.7 ถึง 0.0 V

4.3.5 การศึกษาหาศักย์ไฟฟ้าที่เหมาะสมสำหรับตรวจวัดค่าออกซิเจนและต่อรอลร่วมกับ ChOx เอนไซม์ และนี $K_4Fe(CN)_6$ mediator เป็นตัวช่วยเพิ่มสัญญาณ ด้วยเทคนิคแอมเปอร์โกรัมตริก

จากรูปที่ 4.14 และ 4.15 พบว่ากระแสเฉลี่ยที่ได้ในรูปที่ 4.15 มีค่าสูงที่สุดของการตรวจวัดค่าออกซิเจนและต่อรอลอยู่ที่ -0.3 V ดังนั้นศักย์ไฟฟ้านี้จะใช้สำหรับการหาปริมาณค่าออกซิเจนและต่อรอลต่อไป



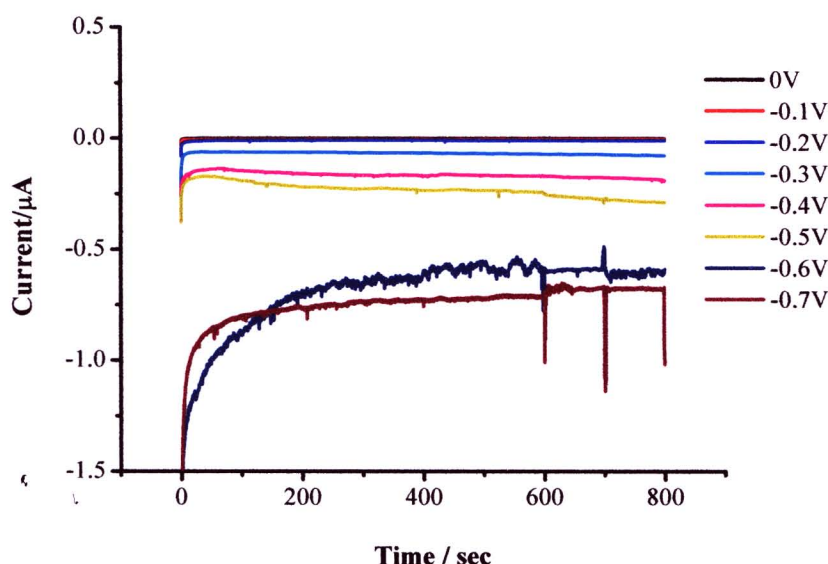
รูปที่ 4.14 แอมเปอร์โกรัมของการตรวจวัดค่าออกซิเจนและต่อรอลร่วมกับ ChOx เอนไซม์ โดยมี 10% Triton x-100 และนี $K_4Fe(CN)_6$ เป็น mediator ที่ศักย์ไฟฟ้าต่างๆ ตั้งแต่ -0.7 ถึง 0.0 V



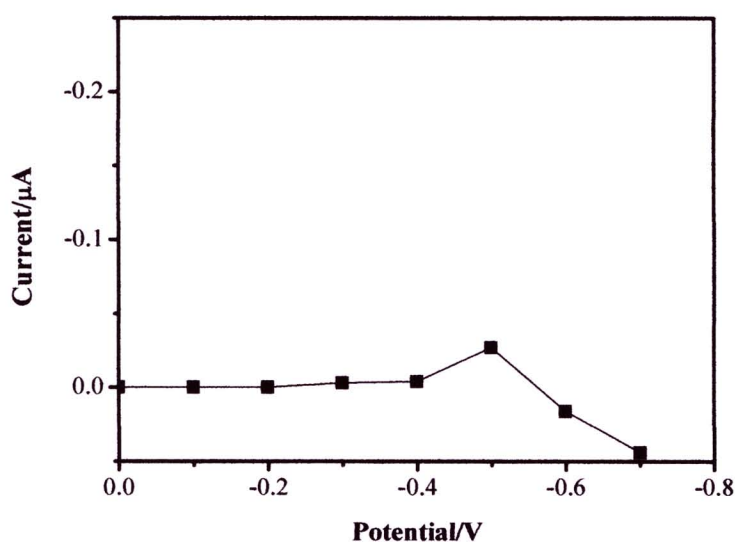
รูปที่ 4.15 กราฟแสดงความสัมพันธ์ระหว่างกระแสเครื่องดักชันแล็ยของคอลเลสเตอรอล ร่วมกับ ChOx เอนไซม์ และมี $\text{K}_4\text{Fe}(\text{CN})_6$ เป็น mediator และศักย์ไฟฟ้าต่างๆ ตั้งแต่ -0.7 ถึง 0.0 V ที่ได้จากรูปที่ 4.14

4.3.6 การศึกษาหาศักย์ไฟฟ้าของอิเล็กโทรไอล็อกที่มีผลต่อการตรวจวัดคอลเลสเตอรอล ด้วยเทคนิคแอมเปอร์โรมทรี

จากการเติมอิเล็กโทรไอล็อกคือ ฟอสเฟตบัฟเฟอร์ pH 7.5 พบร่วมกับศักย์ไฟฟ้าตั้งแต่ -0.5 V ขึ้นไป สามารถเกิดกระแสเครื่องดักชันได้ จัดได้ว่าเป็นกระแสตรวจวัด ดังนั้นการวัดคอลเลสเตอรอลร่วมกับ mediator ที่กระแส -0.3 V จึงเหมาะสมอย่างยิ่ง เพราะกระแสพื้นที่ไม่สูงทำให้มีกระแสตรวจวัดจากอิเล็กโทรไอล็อก แสดงผลดังรูปที่ 4.16 และ 4.17



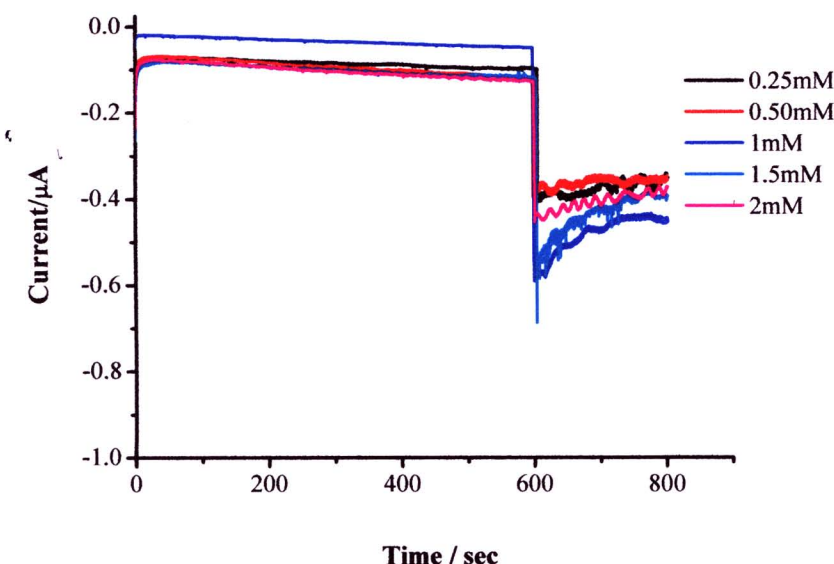
รูปที่ 4.16 แอมเปอร์โกรัมของการตรวจวัดฟอสเฟตบัฟเฟอร์ pH 7.5 ที่ศักยไฟฟ้าต่างๆ ตั้งแต่ -0.7 ถึง 0 V



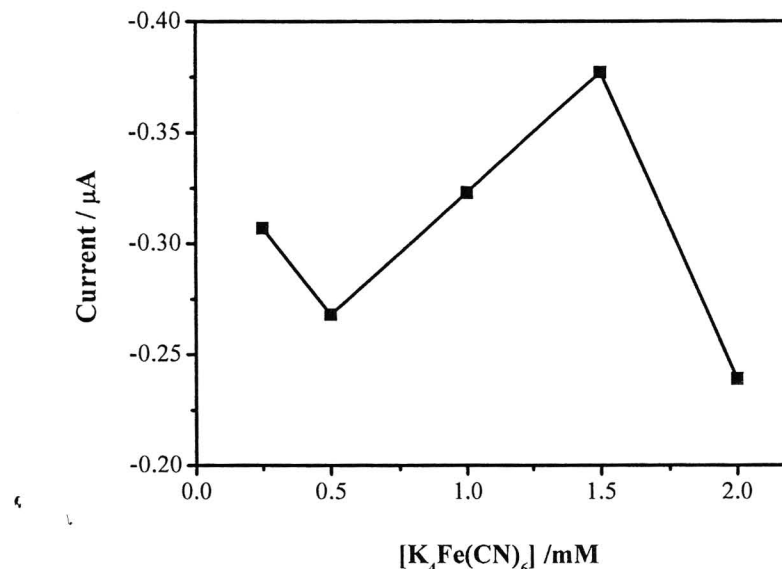
รูปที่ 4.17 กราฟแสดงความสัมพันธ์ระหว่างกระแสแลร์ดกัชชันเฉลี่ยของฟอสเฟตบัฟเฟอร์ pH 7.5 และศักยไฟฟ้า ที่ได้จากรูปที่ 4.16 ที่ศักยไฟฟ้าต่างๆ ตั้งแต่ -0.7 ถึง 0.0 V

4.3.7 ศึกษาหาความเข้มข้นของ mediator ที่เหมาะสมสำหรับตรวจวัดคอลเลสเทอรอล ด้วยเทคนิคแอมเปอร์โรมทรี

จากรูปที่ 4.18 และ 4.19 พบว่าปริมาณของ mediator ที่เหมาะสมอยู่ที่ 1.5 mM เพราะให้กระแสในการตรวจวัดคอลเลสเทอรอลสูงสุด ดังนั้นในการหาปริมาณคอลเลสเทอรอลจะเติม mediator ที่ความเข้มข้น 1.5 mM



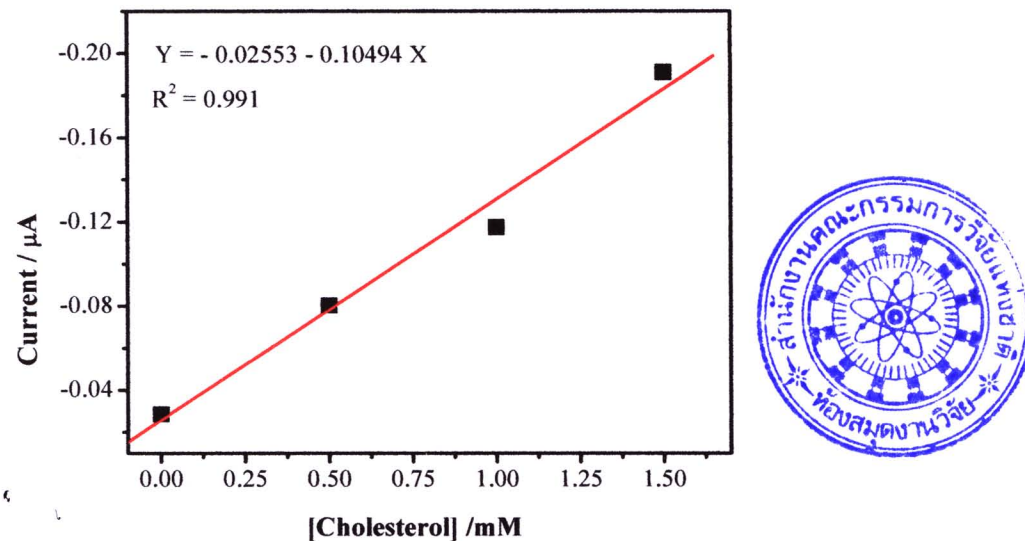
รูปที่ 4.18 แอมเปอร์โรมแกรมของการตรวจวัด $\text{K}_4\text{Fe}(\text{CN})_6$ mediator ที่ศักยไฟฟ้า -0.3 V ที่ความเข้มข้นของ $\text{K}_4\text{Fe}(\text{CN})_6$ mediator ต่างๆ ตั้งแต่ 0.25 0.5 1.0 1.5 และ 2.0 mM



รูปที่ 4.19 กราฟแสดงความสัมพันธ์ระหว่างกระแสดักชันเฉลี่ยของ $\text{K}_4\text{Fe}(\text{CN})_6$ mediator ที่ศักย์ไฟฟ้า -0.3 V ที่ความเข้มข้นของ $\text{K}_4\text{Fe}(\text{CN})_6$ mediator ต่างๆ ตั้งแต่ 0.25 0.50 1 1.5 และ 2.0 mM

4.4 การหาความสัมพันธ์ของช่วงที่เป็นเส้นตรง

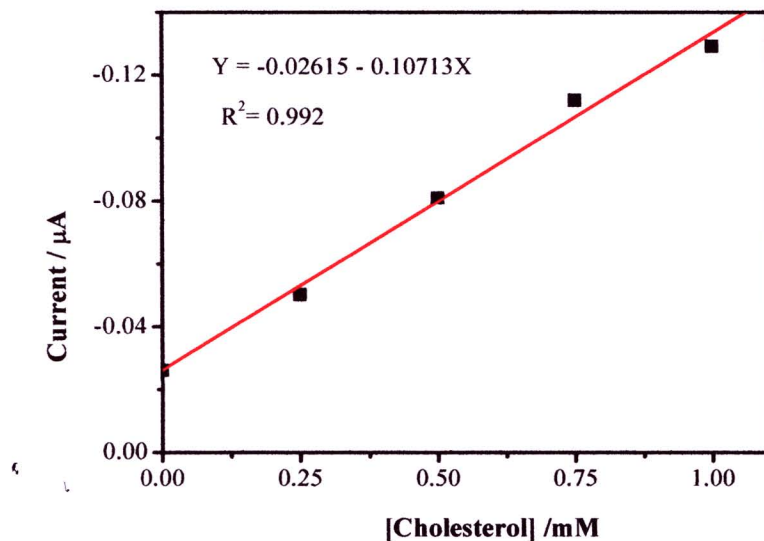
จากสัญญาณแอมเปอร์โกรัม ได้แสดงผลโดยพลอตกราฟความสัมพันธ์ระหว่างความเข้มข้นกับกระแสที่ได้ พบว่าช่วงของความสัมพันธ์ที่เป็นเส้นตรงอยู่ที่ $0.1 \text{ } \mu\text{M}$ ถึง 1.5 mM ดังรูปที่ 4.20 เป็นช่วงความสัมพันธ์ที่กว้าง ให้ความไวในการตรวจวัดอยู่ที่ $0.10494 \text{ } \mu\text{A}/\text{mM}$ และมีจุดจำกัดในการตรวจวัดเท่ากับ $0.1 \text{ } \mu\text{M}$ ค่า $R^2 = 0.991$



รูปที่ 4.20 กราฟความสัมพันธ์ระหว่างความเข้มข้นของคอเลสเตอรอล (0.0001 0.5 1.0 และ 1.5 mM) กับกระแสอิเล็กทรอนิกส์ (n=3) จากเทคนิคแอมเปอร์โรมetric ที่ศักยไฟฟ้า -0.3 V

4.5 การวิเคราะห์คอเลสเตอรอล ในตัวอย่าง

วิเคราะห์หาคอเลสเตอรอลในตัวอย่างนั้น ด้วยเทคนิคแอมเปอร์โรมทรี ผลกระทบจากแอมเปอร์โรมแกรมได้นำมาพลอตความสัมพันธ์ระหว่างกระแสกับความเข้มข้นของคอเลสเตอรอลได้ดังรูปที่ 4.21 จากตัวอย่างนั้นที่วิเคราะห์ได้พบว่ามีปริมาณความเข้มข้นของคอเลสเตอรอล เท่ากับ 0.3332 mM จากการทดสอบ t-test ของค่าความชันที่ได้จากรูปที่ 4.20 และ 4.21 จะเห็นได้ว่าค่าความชันไม่แตกต่างกันอย่างมีนัยสำคัญ ดังนั้นสามารถกล่าวได้ว่าวิธีการวิเคราะห์คอเลสเตอรอล ที่ได้พัฒนานี้ มีกระแสตอบสนองน้อยมากจึงเหมาะสมสำหรับการนำไปวิเคราะห์ในตัวอย่างจริงอีกด้วย (Preechaworapun and et. al., 2008: 2077)



รูปที่ 4.21 กราฟ Standard addition แสดงความสัมพันธ์ระหว่างกระแสสิ่งกัดชันเฉลี่ยของコレสเตอรอล ($n=3$) ที่ตรวจด้วยเทคนิคแอนเปอร์โรมetric ในตัวอย่างนน ที่ศักยไฟฟ้า - 0.3 V